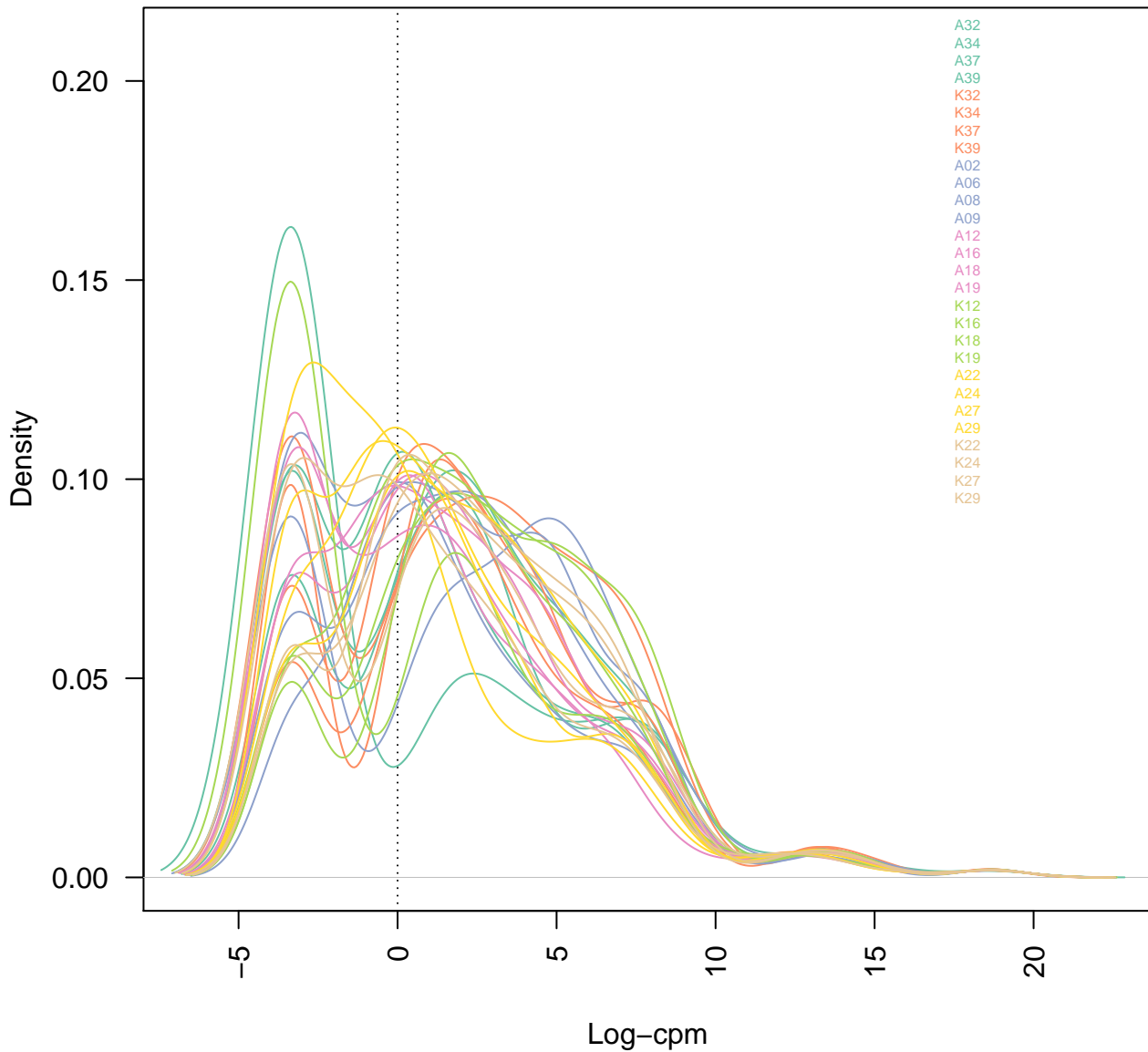
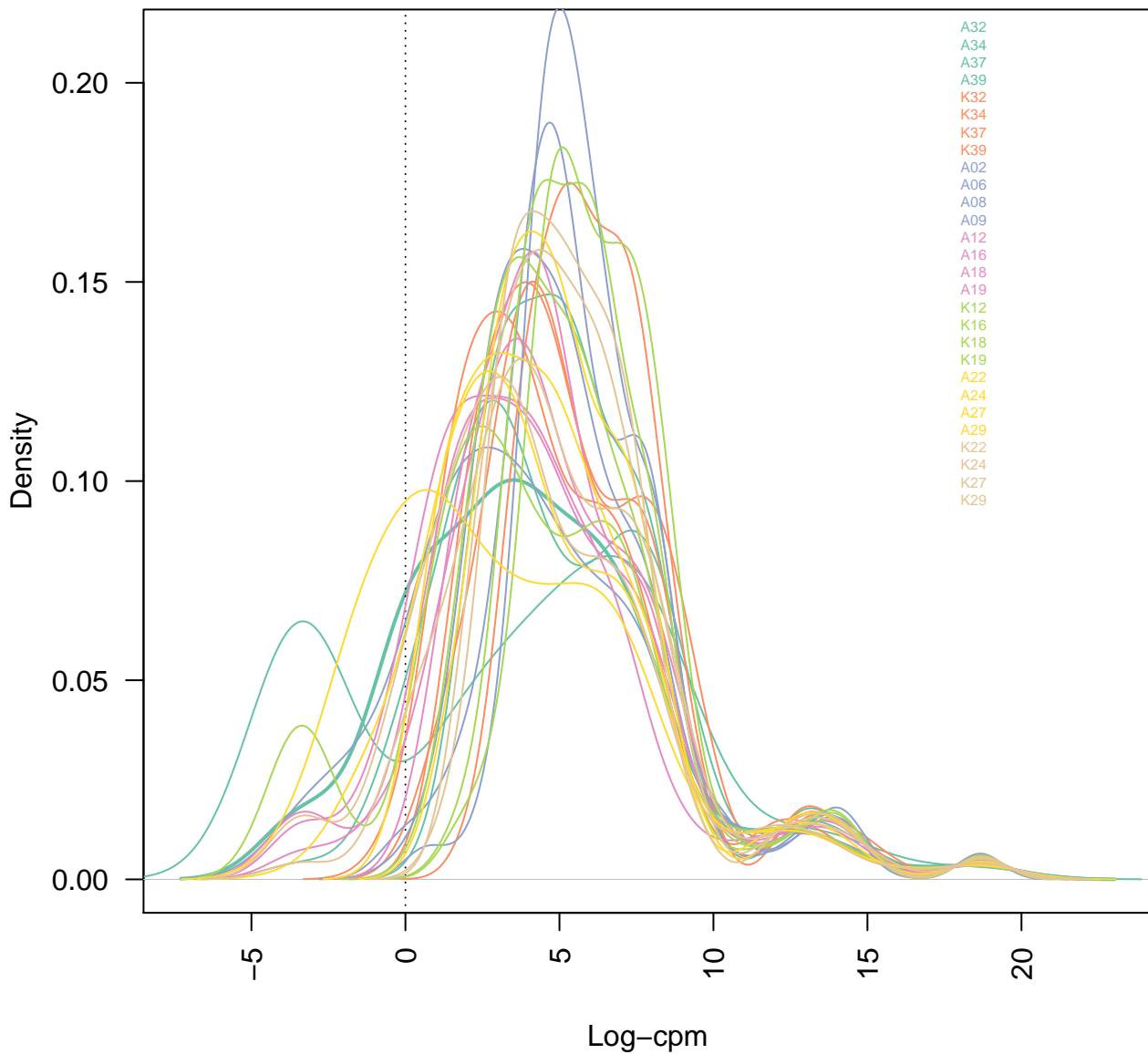


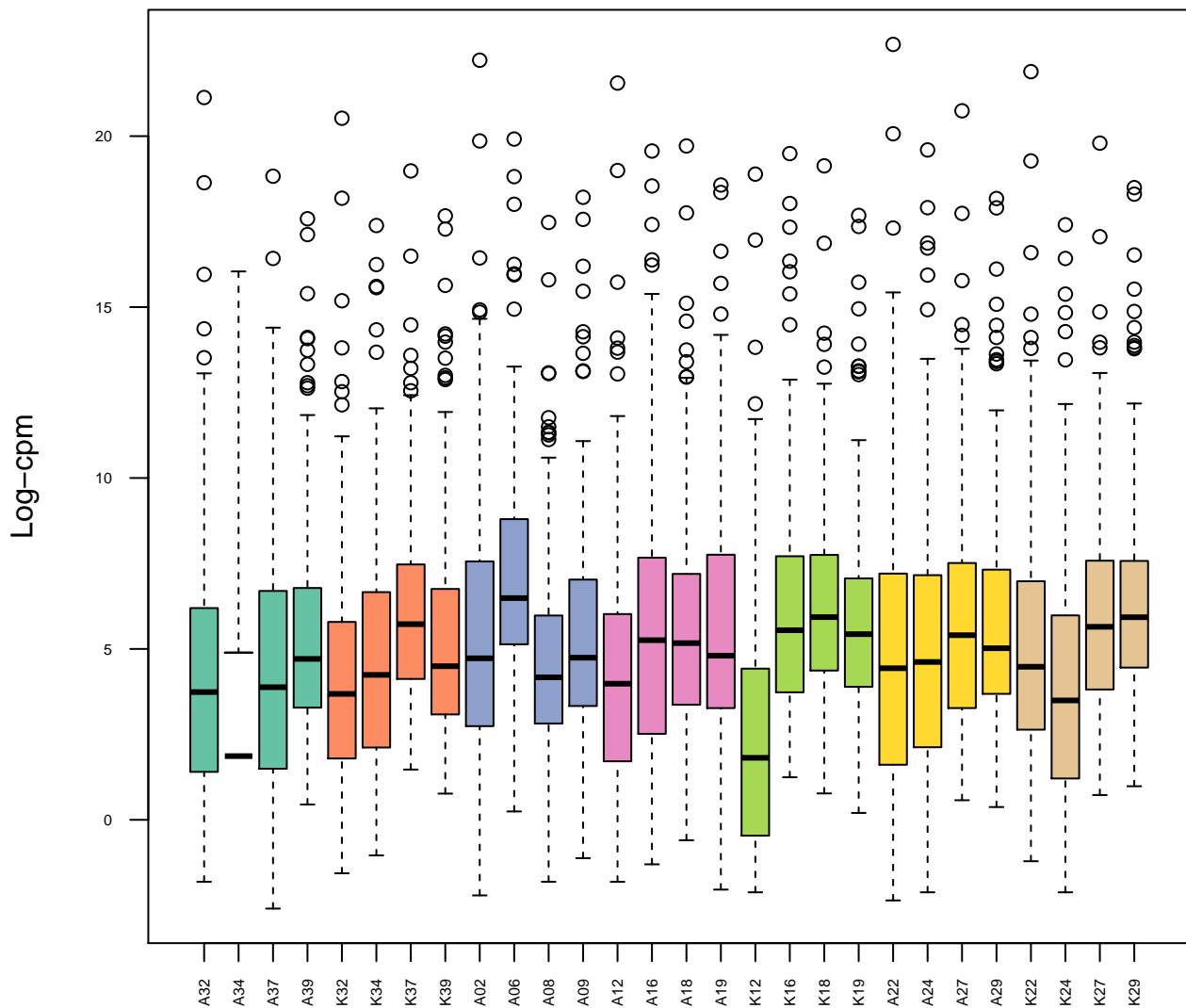
A. Raw data



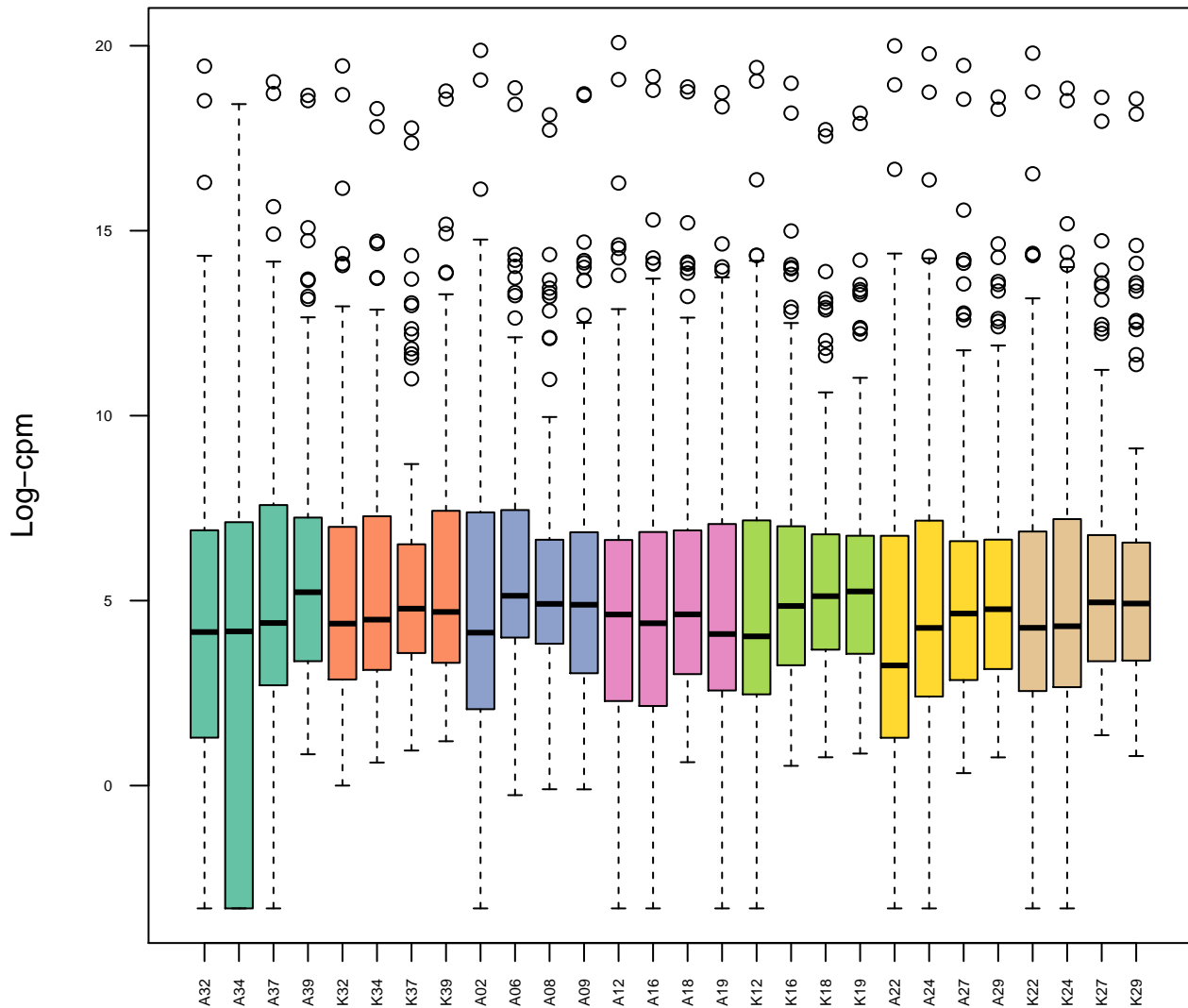
B. Filtered data



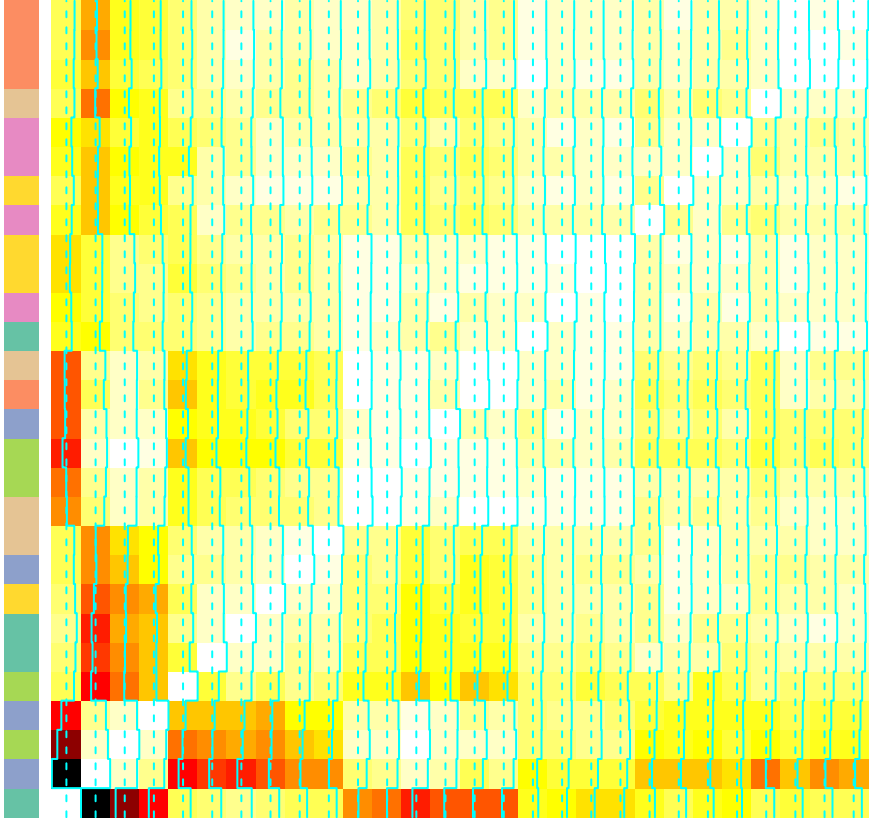
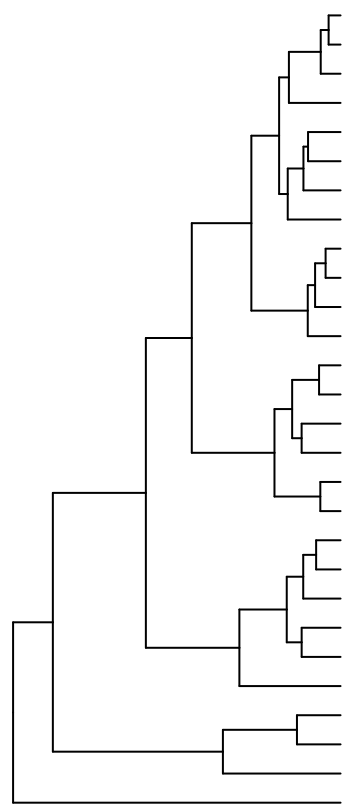
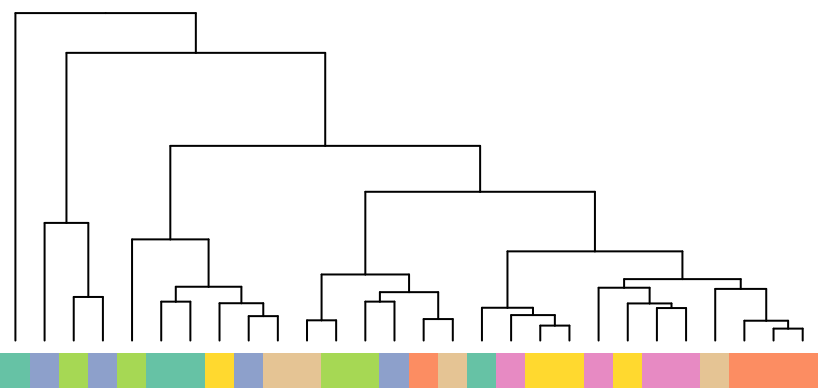
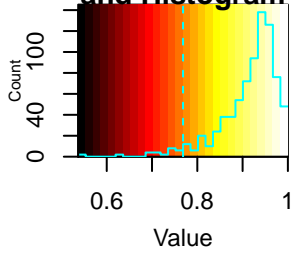
A. Before normalization



B. After normalization



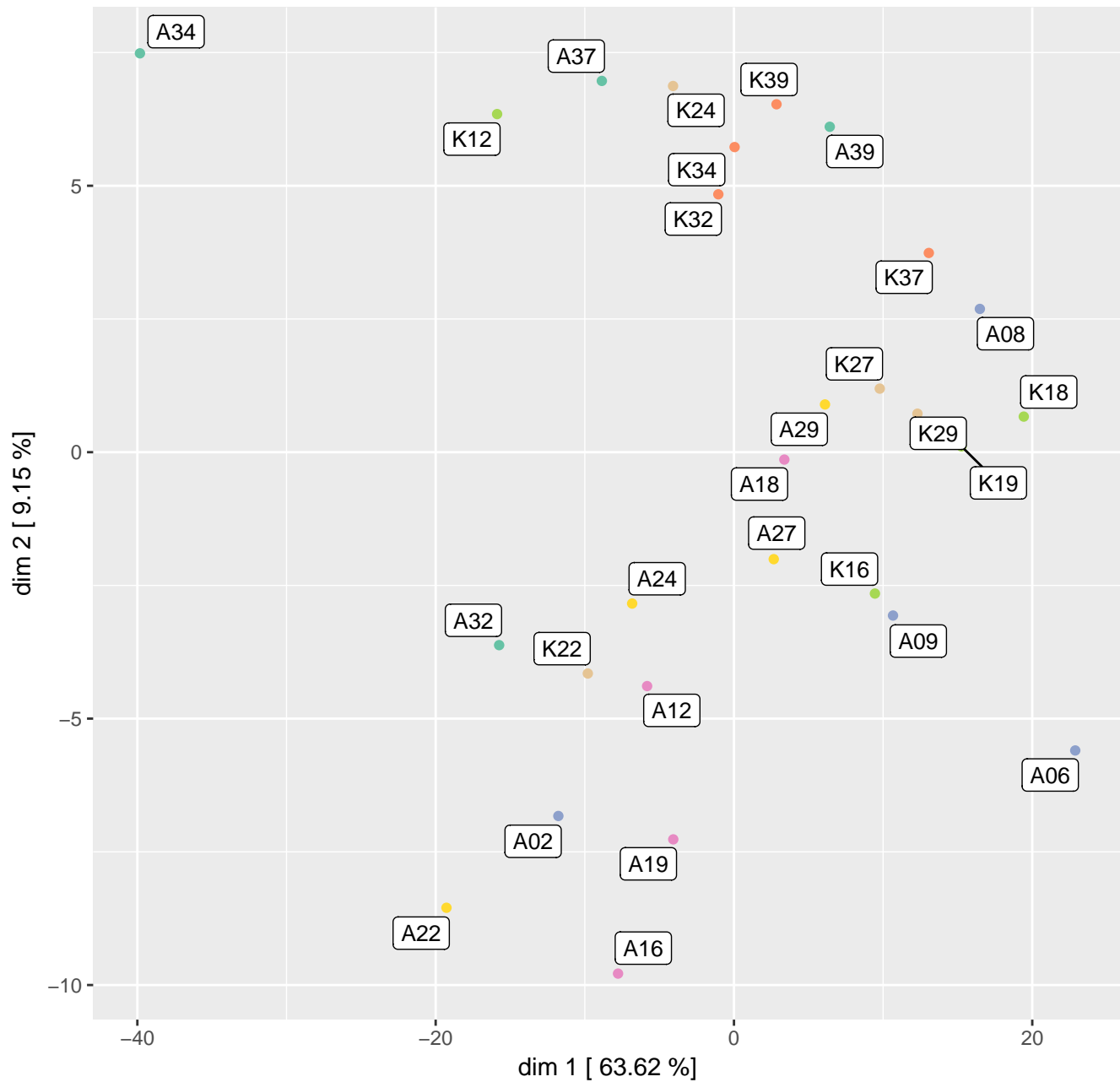
Color Key and Histogram



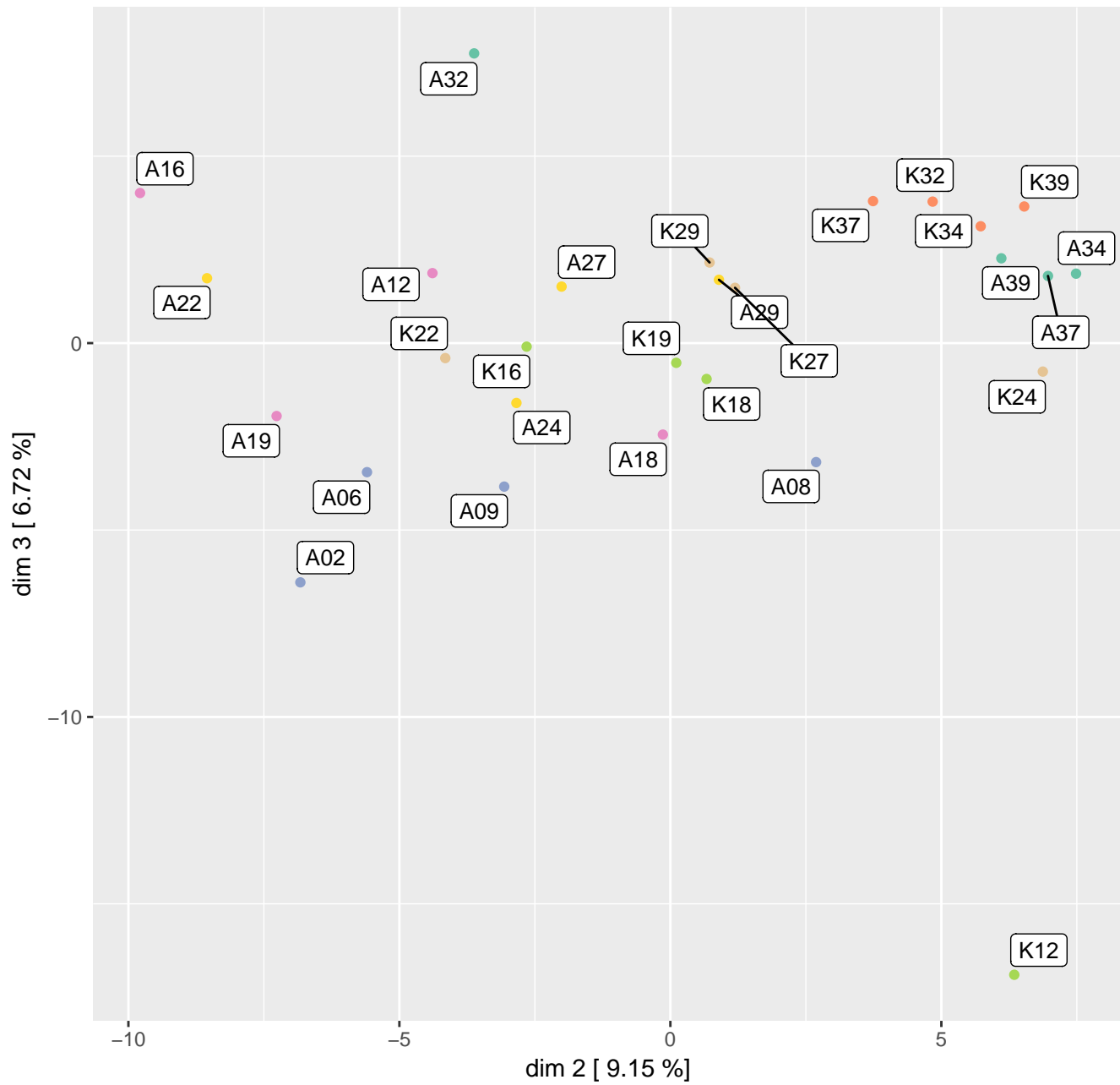
- A34
- A06
- K18
- A08
- K12
- A32
- A37
- A22
- A02
- K22
- K27
- K16
- K19
- A09
- K37
- K29
- A39
- A18
- A29
- A27
- A12
- A24
- A16
- A19
- K24
- K39
- K34
- K32

- K32
- K34
- K39
- K24
- A19
- A16
- A24
- A12
- A27
- A29
- A18
- A39
- K29
- K37
- A09
- K19
- K16
- K27
- K22
- A02
- A22
- A37
- A32
- K12
- A08
- K18
- A06
- A34

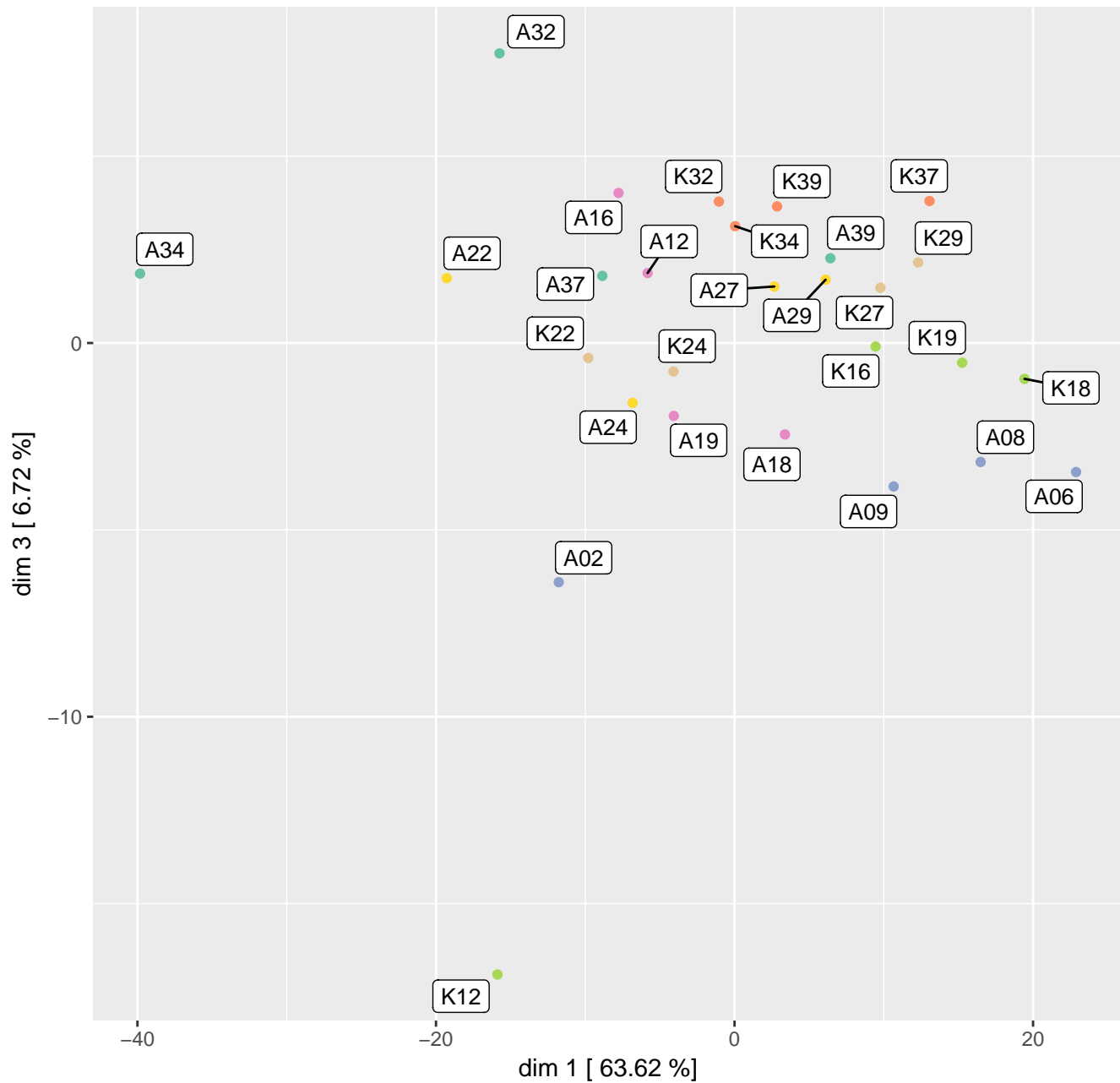
MDS Axes 1 and 2

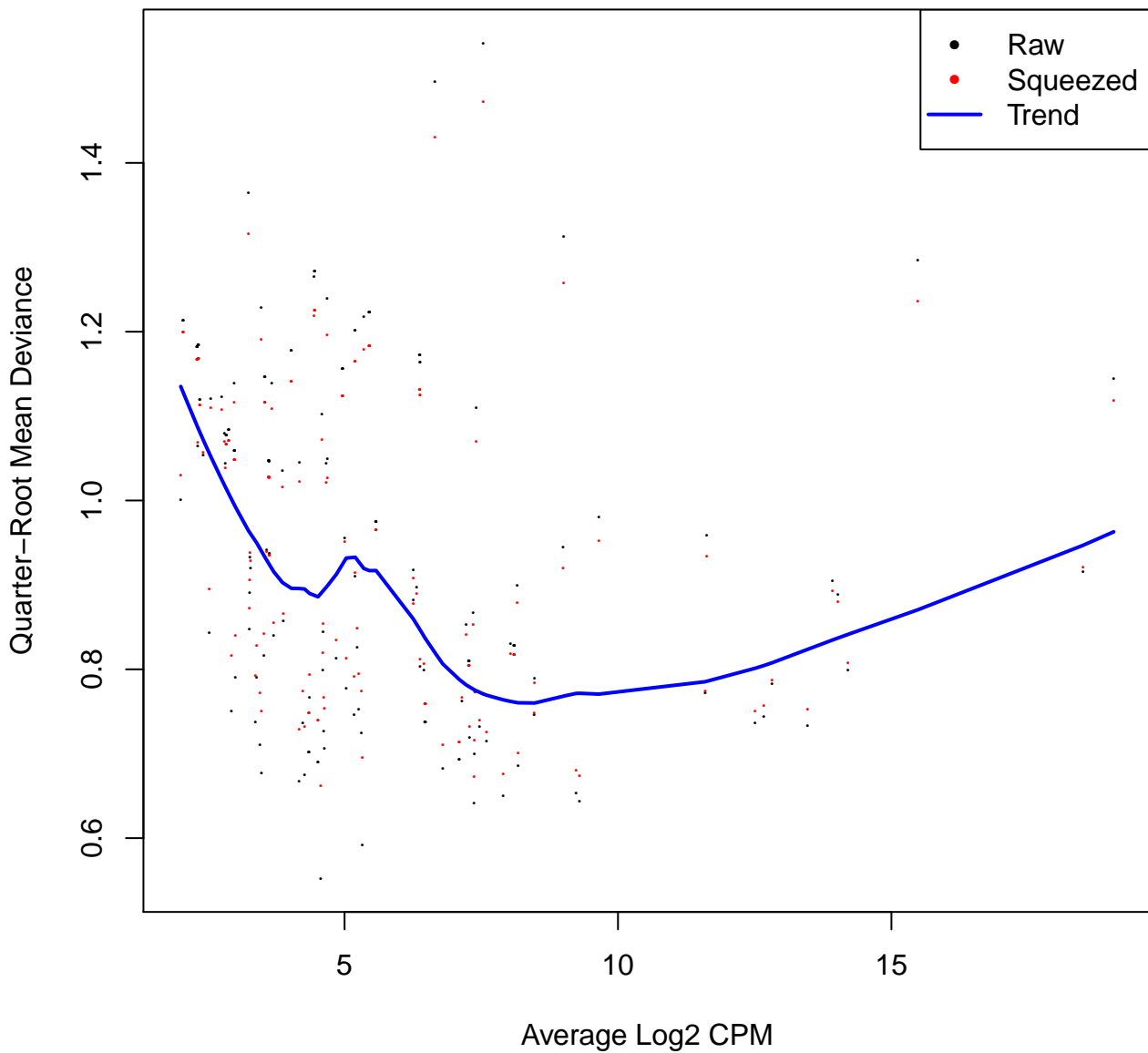


MDS Axes 2 and 3

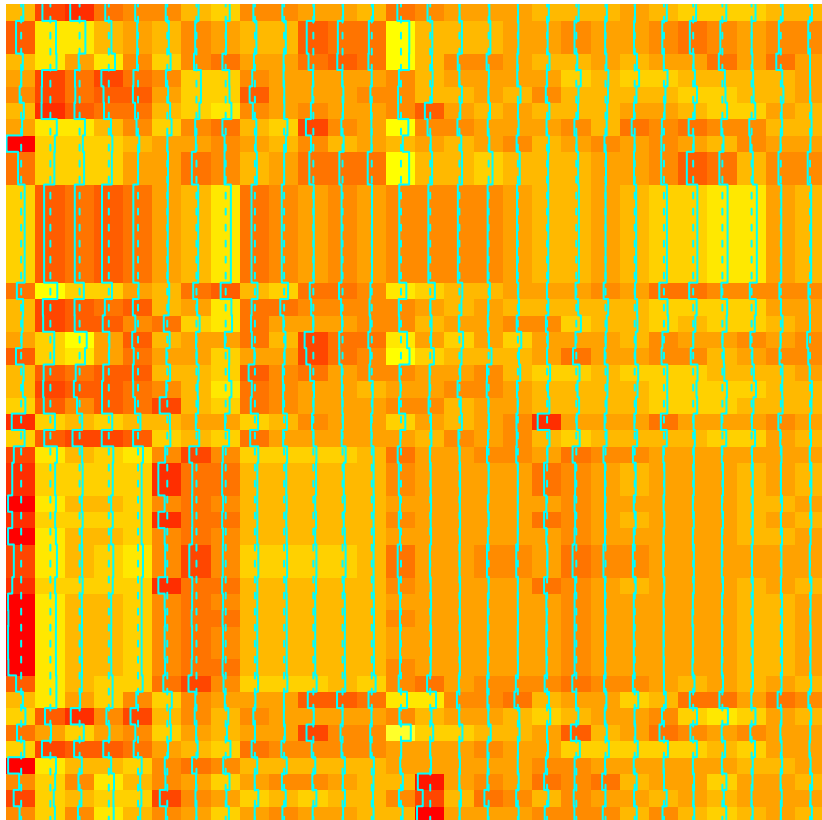
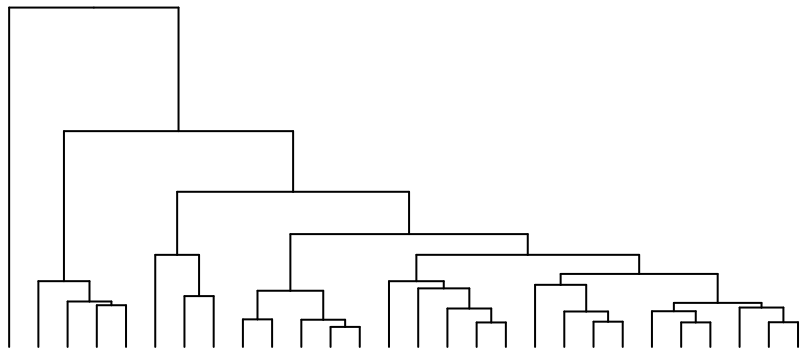
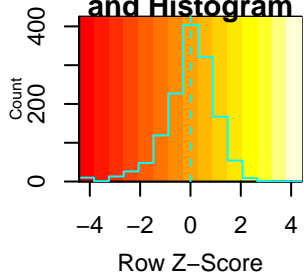


MDS Axes 1 and 3





Color Key and Histogram

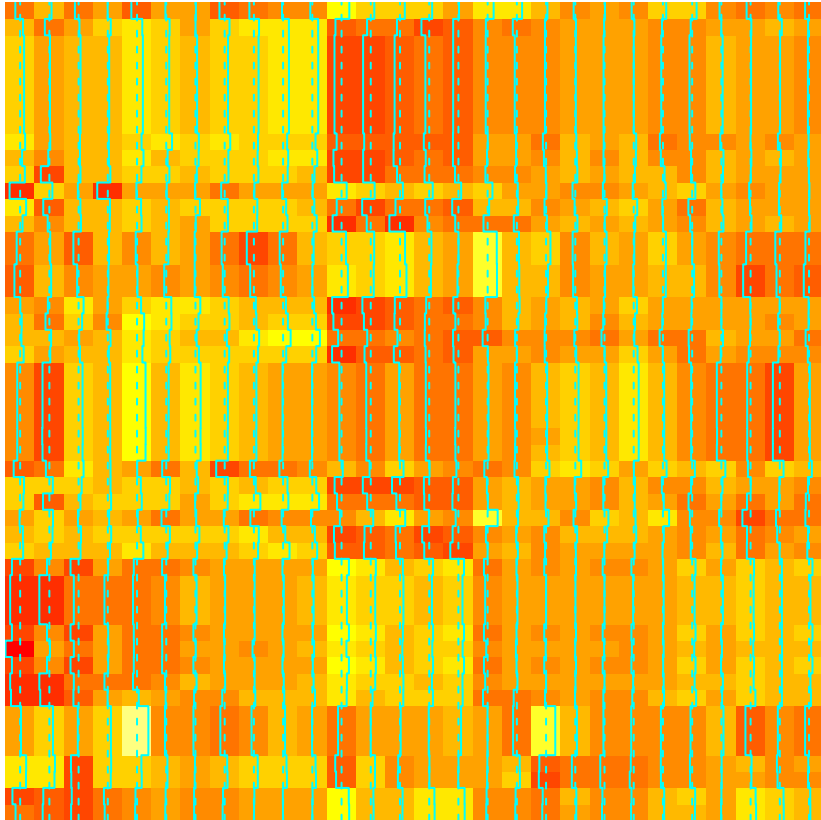
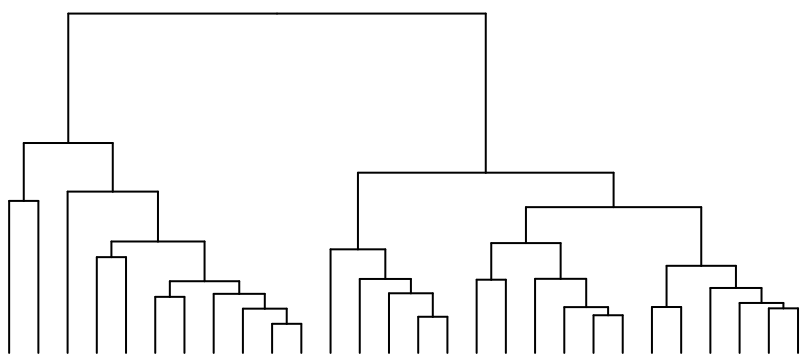
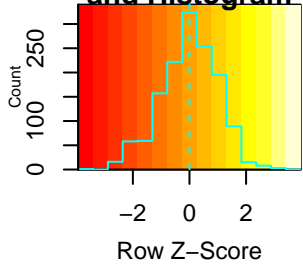


api-mir-929
 api-mir-92b-1
 api-mir-92b-2
 api-let-7
 api-mir-927
 api-mir-3049
 api-mir-1000
 api-mir-2c
 api-mir-3032
 api-mir-92a-1
 api-mir-92a-2
 GL350757_41318
 GL350757_41320
 GL350757_41322
 GL350757_41324
 GL350757_41326
 GL350757_41328
 api-mir-3024
 api-mir-87a
 GL349826_21746
 api-mir-315
 api-mir-279a
 GL350468_38246
 api-mir-14
 api-mir-210
 api-mir-3016
 api-mir-981
 GL349642_4945
 GL349642_4947
 GL349642_4951
 GL349642_4954
 GL349642_4955
 GL349642_4958
 GL349642_4959
 GL349642_4963
 GL349642_4965
 GL349642_4972
 GL349642_4974
 GL349642_4976
 GL349642_4980
 GL349642_4982
 GL349919_26570
 api-mir-100
 api-mir-281
 api-mir-2b
 api-mir-87b
 GL349642_4978
 GL349650_6644
 GL349643_5190
 GL349650_6642

A34
 A06
 A09
 A08
 K18
 K12
 A22
 A37
 K19
 K16
 K37
 K27
 K29
 A02
 A12
 A18
 A19
 A16
 K24
 A32
 A24
 K22
 K32
 K34
 K39
 A39
 A27
 A29

T1vsT0

Color Key and Histogram

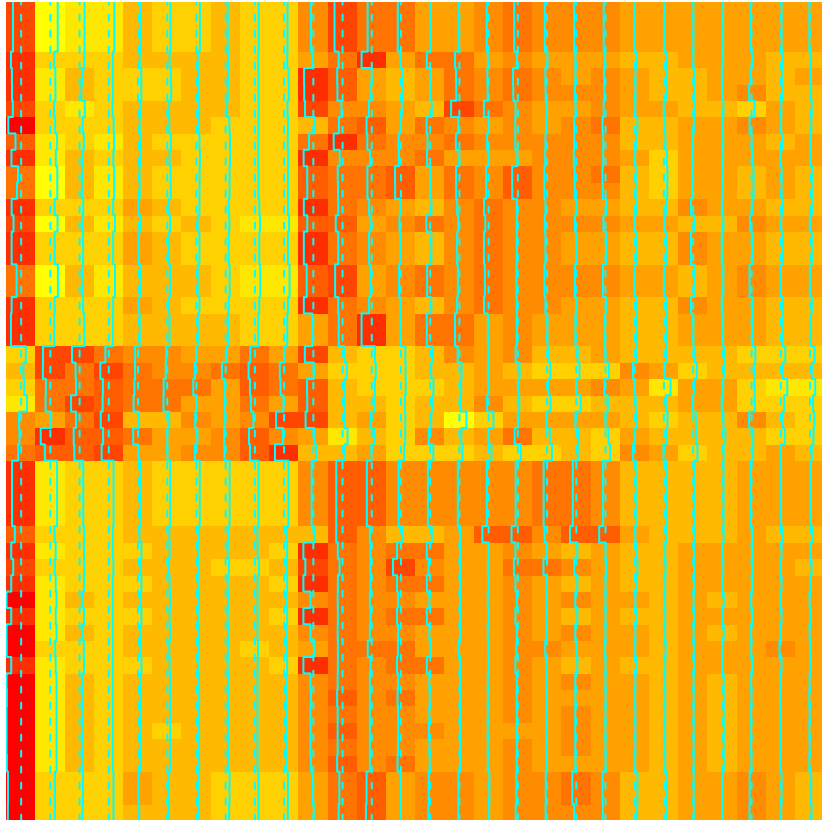
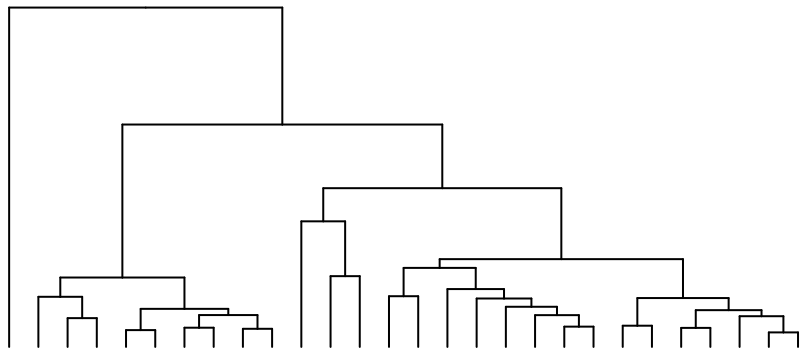
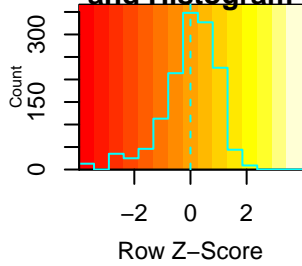


api-mir-3024
 api-mir-316
 GL350757_41318
 GL350757_41320
 GL350757_41322
 GL350757_41324
 GL350757_41326
 GL350757_41328
 api-mir-1
 api-mir-14
 api-mir-210
 api-mir-3016
 api-mir-3018
 api-mir-929
 api-mir-92a-1
 api-mir-92a-2
 api-mir-92b-1
 api-mir-92b-2
 api-mir-927
 GL349826_21746
 GL350222_34242
 api-mir-87b
 GL349650_6636
 GL349650_6638
 GL349650_6640
 GL349650_6646
 GL350370_36909
 GL355572_46131
 api-mir-3040
 api-mir-981
 api-mir-277
 api-mir-2a
 GL350468_38246
 api-mir-276
 GL349642_4945
 GL349642_4947
 GL349642_4951
 GL349642_4955
 GL349642_4959
 GL349642_4961
 GL349642_4963
 GL349642_4965
 GL349643_5182
 GL349714_13724
 GL349714_13726
 GL349714_13728
 GL350137_32551
 GL350137_32552
 GL350151_32890
 GL350151_32910

A34
 K12
 A22
 K24
 A37
 A32
 K22
 K32
 K34
 K39
 A39
 A06
 A08
 A09
 K19
 K18
 A02
 A12
 A19
 A27
 A16
 A24
 A18
 K16
 A29
 K37
 K29
 K27

T1vsT2

Color Key and Histogram

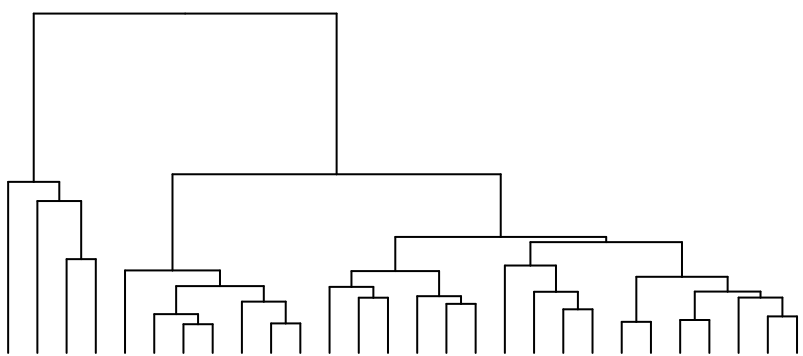
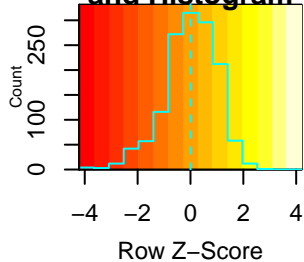


A34
A06
A08
K18
A09
K16
K27
K29
K19
K37
K12
A22
A32
A37
K24
A12
A19
A02
A24
K22
A16
A29
A39
A18
A27
K32
K34
K39

GL349642_4945
GL349642_4959
GL349642_4963
GL349642_4967
GL349643_5180
GL349643_5182
GL349645_5442
GL349919_26570
GL349919_26592
GL350151_32862
GL350151_32866
GL350151_32884
GL350151_32890
GL350151_32898
GL350151_32906
GL350151_32910
GL350737_41242
GL351656_44862
GL366836_47437
GL366836_47447
api-mir-210
api-mir-252a
api-mir-277
api-mir-3018
api-mir-3033
api-mir-3049
api-mir-993
GL349630_2419
GL349630_2421
GL349630_2423
GL349630_2425
GL349630_2427
GL349642_4947
GL349642_4949
GL349642_4951
GL349642_4954
GL349642_4955
GL349642_4958
GL349642_4961
GL349642_4965
GL349642_4972
GL349642_4974
GL349642_4976
GL349642_4978
GL349642_4980
GL349642_4982
GL349645_5438
GL349645_5440
GL349645_5448

T1AvsT1K

Color Key and Histogram



- GL350151_32884
- GL350151_32898
- GL350151_32906
- GL351656_44862
- GL349642_4945
- GL349642_4959
- GL349642_4961
- GL349642_4963
- GL349643_5190
- GL349773_18697
- GL349919_26520
- GL349919_26570
- GL349919_26592
- GL350151_32862
- GL350151_32866
- GL350151_32870
- GL350151_32910
- GL350677_40695
- GL350737_41242
- api-mir-275
- api-mir-92a-1
- api-mir-92a-2
- api-mir-92b-1
- api-mir-92b-2
- api-mir-998
- GL349645_5442
- GL349643_5180
- GL350151_32890
- GL350682_40710
- GL349630_2419
- GL349630_2421
- GL349630_2423
- GL349630_2425
- GL349643_5182
- GL349645_5448
- GL349645_5454
- GL349928_26838
- GL350151_32872
- GL350757_41318
- GL350757_41320
- GL350757_41322
- GL350757_41324
- GL350757_41326
- GL350757_41328
- GL351656_44870
- api-mir-3050
- api-mir-3055-1
- api-mir-3055-2
- api-mir-3055-3
- api-mir-3055-4

- A34
- K12
- A22
- A32
- A06
- K37
- K27
- K29
- A08
- K19
- K18
- A19
- A02
- A12
- A24
- A16
- K22
- K24
- A37
- K32
- K34
- K39
- A39
- A09
- K16
- A18
- A27
- A29

AvsK